

مطالعه جت‌های ساحلی خلیج فارس تحت تاثیر ترمومکالین با استفاده از شبیه‌سازی عددی

حسام الدین مهرفر^۱، مسعود ترابی آزاد^{۲*}، کامران لاری^۳، عباسعلی علی‌اکبری بیدختی^۴

^۱ گروه فیزیک دریا / دانشکده منابع طبیعی و محیط زیست، دانشگاه آزاد اسلامی، واحد علوم و تحقیقات، تهران، ایران، hmehrfar@gmail.com

^۲ دانشیار / دانشکده علوم و فنون دریایی، دانشگاه آزاد اسلامی، واحد تهران شمال، تهران، ایران، m_azad@iau-tnb.ac.ir

^۳ دانشیار / دانشکده علوم و فنون دریایی، دانشگاه آزاد اسلامی، واحد تهران شمال، تهران، ایران، k_lari@iau-tnb.ac.ir

^۴ استاد / موسسه ژئوفیزیک، دانشگاه تهران، تهران، ایران، bidokhti@ut.ac.ir

اطلاعات مقاله	چکیده
تاریخچه مقاله: تاریخ دریافت مقاله: ۱۳۹۸/۰۸/۲۴ تاریخ پذیرش مقاله: ۱۳۹۸/۱۰/۱۵	گردش فصلی جریان‌های ساحلی خلیج فارس با تفکیک پذیری افقی طول و عرض جغرافیایی ۲ دقیقه، با استفاده از مدل عددی کوههیرنس شبیه‌سازی شد. نتایج شبیه‌سازی نشان داد که جریان‌های سواحل ایران به سمت شمال‌غربی در ماه‌های دی تا فروردین گسترش می‌یابد و به بیشترین شدت خود در ماه‌های خرداد تا مرداد، زمانی که جریان درون‌ریز سطحی از طریق تنگه هرمز و با استقرار ترمومکالین فصلی به تدریج قوی‌تر می‌شود، می‌رسد. نتایج شبیه‌سازی نشان‌دهنده گسترش ترمومکالین با شروع فصل گرما است. تحت این شرایط جریان‌های ساحلی قوی‌تری در تابستان به وجود می‌آید. نتایج شبیه‌سازی وجود جت ساحلی را در ماه‌های اردیبهشت تا مهر با سرعت حدوداً ۳۰ cm/s نشان داد. جت ساحلی در مجاورت سواحل ایران تنها محدود به سطح است و به طرف جنوب‌شرقی حرکت می‌نماید، اما جت ساحلی در مجاورت عربستان سعودی در تمامی سنتون آب به طور کامل از سطح تا بستر وجود دارد و به سمت جنوب‌شرقی حرکت می‌کند.
کلمات کلیدی: شبیه‌سازی عددی جریان ساحلی خلیج فارس مدل کوههیرنس ترمومکالین	حرکت می‌کند.

Study of the Persian Gulf coastal jets under the influence of thermocline using numerical simulation

Hesameddin Mehrfar¹, Masoud Torabi Azad^{2*}, Kamran Lari³, Abbas-Ali Ali-Akbari Bidokhti⁴

1 Department of Natural Resources and Environment, Science and Research Branch, Islamic Azad University, Tehran, Iran; hmehrfar@gmail.com

2 Associate Professor, Department of Marine Science & Technology, Islamic Azad University, Tehran North Branch, Tehran, Iran; m_azad@iau-tnb.ac.ir

3 Associate Professor, Department of Marine Science & Technology, Islamic Azad University, Tehran North Branch, Tehran, Iran; k_lari@iau-tnb.ac.ir

4 Professor, Institute of Geophysics, University of Tehran, Tehran, Iran; bidokhti@ut.ac.ir

ARTICLE INFO

Article History:

Received: 15 Nov. 2019

Accepted: 05 Jan. 2020

Keywords:

Numerical Simulation

Coastal Currents

Persian Gulf

COHERENS Model

Thermocline

ABSTRACT

Seasonal circulation of coastal currents of the Persian Gulf with a horizontal resolution of 2-minutes of latitude and longitude was simulated using COHERENS numerical model. The currents of the Iranian coasts flew northwestward from January to April, reaching the highest level from June to August, when surface inflow currents through the Strait of Hormuz gradually became stronger with establishment of the seasonal thermocline. The simulation results indicated thermocline expansion with the onset of the heating season. Under the mentioned conditions, stronger coastal currents were generated in summer. The simulation results showed the presence of coastal jet with a speed of approximately 30 cm/s from May to October. The coastal jet near the Iranian coasts is only confined to the surface, moves toward southeast; however, the coastal jet in the vicinity of Saudi Arabia is entirely present at all columns of water from surface to the seabed and moves toward southeast.

۱ - زمینه هدف

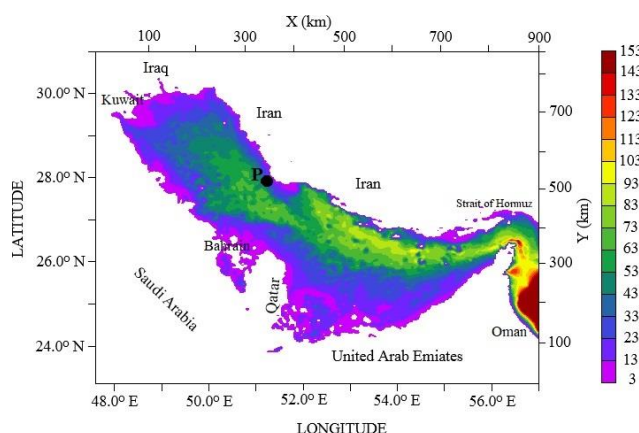
وزش بادهای غالب شمال غربی سبب ایجاد جریان‌های سطحی و قوی در مجاورت سواحل ایران و عربستان سعودی در قسمت شمالی خلیج فارس می‌گردد که آنرا جت ساحلی می‌نامند [۴]. تاپیل و هوگان (۲۰۱۰) اثر باد شمال زمستانه بر خلیج فارس را مطالعه و شبیه‌سازی کردند. آنها بازه زمانی ۲۰ نوامبر تا ۵ دسامبر ۲۰۰۴، یک دوره مناسب برای رخداد باد شمال، را بررسی کردند. نتایج مدل حاکی از این است که باد شدید نه تنها گردنش کل خلیج فارس را تقویت می‌کند، بلکه یک جریان به سمت شمال غرب، در سواحل ایران، به شدت ($30-25 \text{ cm/s}$) از تنگه هرمز تا طول ۵۲ درجه شرقی که متمایل به سمت ساحل است، ایجاد می‌کند [۵]. کمف و همکاران (۲۰۰۶) گردنش آب در خلیج فارس را مطالعه و شبیه‌سازی کردند. نتایج نشان می‌دهد که در طول پاییز و زمستان، شبیه‌سازی‌ها برقراری یک الگوی جریان پایدار در جهت عقربه‌های ساعت را در شمال خلیج فارس نشان می‌دهد، که شامل یک جت ساحلی پایدار در امتداد ساحل ایران است که با حداقل سرعت 10 cm/s در جهت جنوب شرق حرکت می‌کند [۶]. حسینی بالام و همکاران (۲۰۱۱)، گردنش خلیج فارس را تحت تاثیر نش باد و شارستحی ترمومهالاینی با استفاده از مدل عددی هیدرودینامیکی کوهیرنس^۱ بررسی کردند. آنها نشان دادند شارهای گرمایی نقشی اساسی در گردنش عمومی خلیج فارس بازی می‌کنند. در بهار و تابستان نش باد، جریان‌های سطحی جنوب‌شرقی با سرعت حدود 5 cm/s در طول سواحل ایرانی و عربستان سعودی در خلیج فارس ایجاد می‌کند [۷]. مهندسی نمین و همکاران (۲۰۱۶)، با استفاده از مدل عددی کوهیرنس، عملکرد چند طرح‌واره تلاطمی در شبیه‌سازی عددی هیدرودینامیک یک حوضه نیمه‌بسسه مانند خلیج فارس را بررسی کردند. آزمایش مدل با طرح‌واره‌های بستار تلاطمی $U - k - l$ و $k - l$ نشان می‌دهد که طرح‌واره $U - k$ در آبهای ورودی خلیج فارس اختلاط کمتری را نشان می‌دهد. جریانات برای آزمایشی که طرح‌واره $l - k$ اعمال می‌شود دارای سرعت بیشتری هستند که باید با اختلاط بیشتر همراه باشند و با الگوهای شوری نیز مطابقت دارند [۸]. تراوی آزاد و مهرفر (۲۰۱۷) تغییر پذیری جت‌های ساحلی خلیج فارس را مورد مطالعه و بررسی قرار دادند و مشخص شد شکل گیری جت‌های ساحلی مرتبط با گرایان فشار است. دینامیک چنین حرکاتی غیر خطی و غیر شبیه ژئوستروفیک و برای آنها عدد بدون بعد راسبی تقریباً از مرتبه یک است. همچنین انتقال توده آب در اثر تعادل ژئوستروفیک به مناطق ساحلی ایران و عربستان سعودی و وزش بادهای غالب شمال غربی سبب ایجاد دو جت قوی در مجاورت این مناطق می‌شود [۹].

گردنش و تشکیل توده‌آب در خلیج فارس موضوع بسیاری از مطالعات بوده است. برخی از این مطالعات از مدل‌های عددی هیدرودینامیک استفاده و جریان‌های تشکیل شده در خلیج فارس را شبیه‌سازی

در علم اقیانوس‌شناسی منطقه ساحلی به آبهای امتداد داده شده به طرف خشکی به میزان یک کیلومتر از بالاترین سطح آب دریا و به طرف دریا تا خط هم‌عمق سی‌متر تعریف شده است. این منطقه شامل آبهای بستر، ورودی رودخانه‌ها، مصب‌ها، شاخاب‌ها، خلیج‌های کوچک و همچنین بالاترین میزان جزو مد را شامل می‌شود. مطالعه مناطق ساحلی و فرآیند حرکات در آنها از اهمیت ویژه‌ای برخوردار است. به طوری که حرکات ساحلی در فرسایش سواحل و تغییر شکل آنها و انتقال آسودگی‌ها و مسائل زیست محیطی، ایجاد و تاسیس سازه‌های زیر دریائی و مطالعات صید و شیلاتی نقش بسیار عمده‌ای دارند. یکی از حرکات ساحلی در مقیاس متوسط جریان‌های قوی در امتداد ساحل است که به جت ساحلی موسوم می‌باشد. جت‌های ساحلی نقش مهمی در آب و هوای مناطق ساحلی دارند. از نظر نظامی و حرکت اجسام در زیر آب، شناخت جریان‌های زیر سطحی کاملاً مهم و ضروری است. جریان‌ها نقش مهمی در انتقال آسودگی‌های ناشی از پس‌آب^۲ کشتی‌ها، کارخانه‌ها، آسودگی‌های نفتی و پس‌ماندهای وارد شده در محیط اقیانوسی را دارند. از آن جاکه آبزیان در شرایط مناسب اقلیمی خود مثلاً در شوری و دمای ویژه‌ای زندگی می‌کنند؛ بنابراین در بحث مهاجرت آبزیان، جریان‌ها نقش عمده‌ای را ایفا می‌کند، یعنی از لحظه صنعت شیلاتی نیز، بررسی جریان‌ها حائز اهمیت است.

خلیج فارس یک حوضه نیمه‌بسسه و کم عمق با میانگین 35 متر است که از طریق تنگه هرمز به خلیج عمان متصل می‌شود. گردنش در خلیج فارس اول ناشی از بادهای غالب شمال‌غربی، شار شناوری و تکانه وابسته به آن، پس از آن نیروهای ترمومهالاینی و سوم ناشی از نیروی جزر و مد است [۱]. نتایج با استفاده از شبیه‌سازی با تفکیک پذیری بالا (3 کیلومتر) در خلیج فارس نشان می‌دهد، تبدلات قابل ملاحظه در مقیاس درون فصلی در ساختارهای ترمومهالاین و جریان‌ها نیز اتفاق می‌افتد، که توسط نیروهای کشنده‌ای با فرکانس بالا و نیروهای اتمسفری تشدید می‌شود، که می‌تواند شکل و شدت گردنش چرخندی، موقعیت شاخه رودخانه، میزان توسعه یک فراگوشی در طول سواحل شمال‌غربی ایران، جریان‌های برگشتی از ساحل در طول سواحل عربی و پراکنش پیچک‌های میان مقیاس را تحت تاثیر قرار دهد [۲]. جریان آب در خلیج فارس فصلی است و به میزان زیادی به اختلاف چگالی و بادها بستگی دارد. در تابستان جریان از لحظه پهنا گستردگرتر است و به خیلی دورتر به طرف شمال تا نزدیکی راس خلیج فارس می‌رسد. همچنین یک جت ساحلی قوی به سمت جنوب، در شرق قطر که عمده‌تاً ناشی از باد است، پیش‌بینی شده است [۳]. انتقال توده‌های آب در اثر تعادل ژئوستروفیک در ناحیه برخورد دو توده آب با چگالی‌های متفاوت در مناطق ساحلی ایران و عربستان سعودی و

استفاده شده است. شوری مرجع ۳۸، دمای مرجع ۲۲ درجه سانتی گراد و چگالی مرجع ۱۰۲۷ کیلوگرم بر مترمکعب در نظر گرفته شده است [۱۴-۱۵]. تحت شرایط اعمال شده فوق، مدل بعد از ۱۰ سال اجرا به پایداری اقلیمی رسید و نتایج استخراج شده در سال دهم برای بررسی تغییرات فصلی جریان‌های خلیج فارس مورد استفاده قرار گرفت.

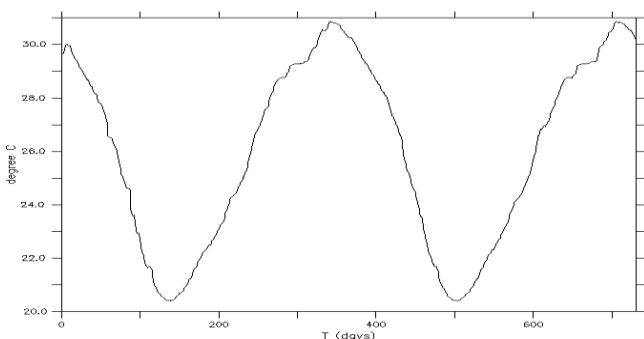


شکل ۱ - هندسه و موقعیت خط ساحلی بر اساس داده‌های ETOPO-2

۳ - صحت سنجی مدل و نتایج شبیه‌سازی

برای حصول نتایج قبل اعتماد جهت تحلیل، ابتدا مدل باید به پایداری اقلیمی برسد. برای رسیدن به مرحله پایداری، مدل برای ۱۰ سال اجرا شد. طی این فرایند، رژیم گردش آب به همراه دیگر خواص توده آب باید در خلیج فارس در مدت مورد نظر به یک چرخه پایدار برسند. بعد از رسیدن به حالت پایدار اگر برای هر نقطه از شبکه مورد استفاده در شبیه‌سازی، نمودار دما یا شوری نسبت به زمان رسم شود، یک شکل تکرارپذیر خواهد شد. نقطه شاهد P در شکل ۱ نشان داده شده است. همان‌گونه که دیده می‌شود، دما و شوری بعد از شبیه‌سازی است. همان‌گونه که دیده می‌شود، دما و شوری بعد از ۱۰ سال اجرای مدل به یک حالت تکرارپذیر رسیده‌اند. نتایج بدست-

- آمده از این تحقیق مربوط به آخرین سال شبیه‌سازی است.



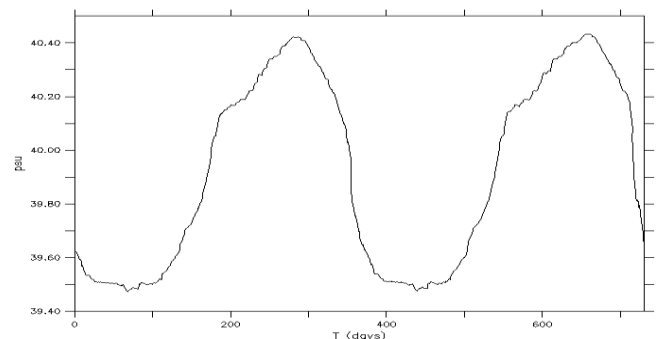
شکل ۲- سری زمانی مربوط به میانگین دما برای ۲ سال آخر از کل مدت شبیه‌سازی در نقطه دلخواه P، که از سطح تا عمق میان‌گیری شده است.

کردۀ‌اند [۱، ۶، ۷، ۸]. در این پژوهش از مدل عددی کوهیرنس استفاده شد. کوهیرنس یک مدل هیدرودینامیکی سه‌بعدی است که دارای کاربردهای متنوعی در سواحل و نواحی فلات قاره می‌باشد. این مدل با مدل‌های بیولوژیکی و مدل‌های آبودگی جفت شده‌است و قادر به حل فرآیندهای میان‌ مقیاس تا فرآیندهایی با مقیاس فصلی می‌باشد. با استفاده از این مدل و اعمال میانگین داده‌های بلندمدت اقلیمی در یک دوره ۱۰ ساله، با تفکیک افقی ۲ دقیقه و ۱۰ لایه قائم سیگما، گردش کلی و جریان‌های خلیج فارس شبیه‌سازی شد. جهت حل معادلات فرارفت تکانه و اسکالار از طرح‌واره ^۲TVD استفاده شد. طرح‌واره تلاطمی ملور-یاماذا، به دلیل درجه بالاتر نسبت به سایر مدل‌های تلاطمی و همچنین نتایج به دست‌آمده از کارهای کمف [۶] و مهندسی [۸] به مدل اعمال شد. سپس نتایج شبیه‌سازی جریان‌های ساحلی خلیج فارس، تشکیل ترمولکلین و تاثیر آن روی جت‌های ساحلی در ماهها و فصل‌های مختلف در مقیاس حوضه نشان داده شد.

۲ - روش بررسی

برای شبیه‌سازی جریان‌ها از مدل عددی کوهیرنس استفاده شده است. محدوده محاسباتی، شامل خلیج فارس و بخشی از دریای عمان در عرض ۲۳.۱ تا ۳۱ درجه شمالی و ۴۷.۶ تا ۵۷ درجه شرقی ETOPO است. هندسه و موقعیت خط ساحلی بر اساس داده‌های ETOPO-2 با تفکیک‌پذیری افقی طول و عرض جغرافیایی ۲ دقیقه هموار شده است. برای رفع ناپایداری عددی، کمترین عمق به ۳ متر، در خطوط ساحلی، و بیشینه عمق به ۱۵۰ متر، در دریای عمان که تاثیر معنی‌داری بر نتایج ندارد، هموار شد (شکل ۱). برای استفاده در مدل‌های چند لایه که دارای کف ناتراز می‌باشد، نیاز به آرایه‌ی قائمی است که در تمامی پهنای اقیانوسی تعداد لایه‌ها را یکسان در نظر گیرد، بنابراین از آرایه‌ی قائم سیگما استفاده شده است. این کار کمک می‌کند که همه‌ی محیط ما دارای یک تعداد لایه باشد [۱۰]. در یک دستگاه مختصات با آرایه‌ی قائم سیگما، تعداد سطوح قائم سیتوں آب در هر عمقی از سیتوں آب یکسان است. تعداد لایه‌های عمودی سیگما، ۱۰، انتخاب گردید. برای برقراری شرط پایداری ^۳CFL، گام زمانی دو بعدی و سه بعدی به ترتیب ۲۰ ثانیه و ۶۰۰ ثانیه انتخاب شده است. طرح‌واره بستار تلاطم k-l (ملور-یاماذا) [۱۱] به دلیل بالاتر بودن درجه آن نسبت به مدل k-e [۱۰]، همچنین با توجه به نتایج [۶، ۸، ۱۲] برای تلاطم استفاده شده است. فرمول‌بندی اسماگورینسکی برای طرح‌واره پخش افقی استفاده شده است [۱۳]. نیروهای میانگین روزانه اتمسفری اقلیمی (مولفه‌های سرعت باد، دمای هوا، رطوبت نسبی، پوشش ابر، بارش و دبی رودخانه) برای یک دوره ۵۰ ساله (۱۹۶۰-۲۰۱۰) از داده‌های سازمان ملی اقیانوسی و جوی ^۴ میانگین‌گیری شده و در مدل

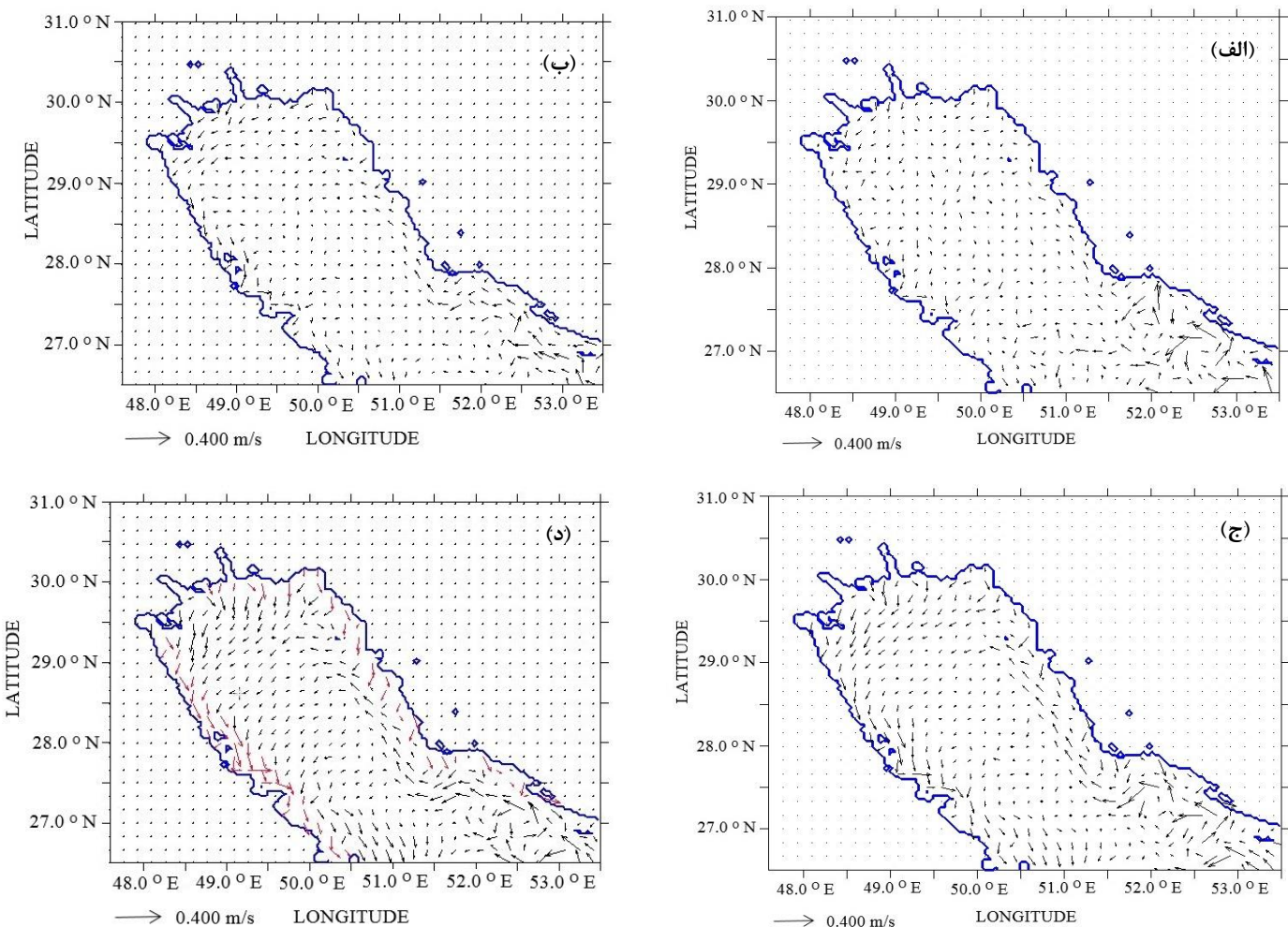
سواحل ایرانی رفته‌رفته قویتر می‌شود و به سمت شمال خلیج فارس نفوذ می‌کند. نتایج شبیه‌سازی بردارهای جریان نشان دهنده شروع افزایش سرعت جریانات با شروع فصل گرماست (شکل ۴ و ۵). وقتی که اقیانوس از جو گرما می‌گیرد و ستون آب چینه‌بندی شده قوی را به وجود می‌آورد، ترمومکلین گسترش می‌یابد (شکل ۹ و ۱۰). این موضوع سبب می‌شود، اختلاط عمودی در شرایط باد ضعیف غالب در این فصل، محدود شود. سپس به وسیله آب‌چگال‌تر (کم‌شورتر) ساکن در اننهای شمالی (جنوبی) خلیج، گرادیان فشار تولید می‌شود و جریان آب کم‌شورتر را از خلیج عمان به خلیج فارس از طریق تنگه هرمز می‌راند. تحت این شرایط جت‌های ساحلی به وجود می‌آید. براساس نتایج بدست آمده از حرکات آب در خلیج فارس و اندازه‌گیری به عمل آمده مشخص شده است که جت ساحلی نیز در سواحل ایران و عربستان سعودی وجود دارد [۹ و ۱۶]. همان‌طور که نتایج شبیه‌سازی نشان می‌دهد، جریان آب در خلیج فارس فصلی است و به طور زیادی به رانش چگالی بستگی دارد. از برخوردهای جریان آب ورودی از تنگه هرمز با شوری بیشتر با آب با شوری کمتر رودخانه‌های شمالی خلیج فارس در ناحیه‌ی میانی آن ناحیه جبهه‌ای بوجود می‌آید که با ناپایداری باروکلینیکی همراه است. انتقال توده‌آب بر اثر تعادل ژئوستروفیک به مناطق ساحلی ایران و عربستان سعودی و وزش بادهای غالب شمال غربی سبب ایجاد جت ساحلی در این مناطق می‌شود. شکل ۵ بردارهای جریان سطح و کف، در سواحل شمالی ایران و عربستان در ماههای اردیبهشت، خرداد، تیر، مرداد، شهریور و مهر را نشان می‌دهد. جت ساحلی در مجاورت سواحل ایران تنها محدود به سطح است و به طرف جنوب شرقی حرکت می‌نماید و در بستر جریان برگشتی به طرف شمال غربی داریم، اما جت ساحلی در مجاورت عربستان سعودی در تمامی ستون آب به طور کامل از سطح تا بستر وجود دارد و به طرف جنوب‌شرقی حرکت می‌نماید که در شکل ۴-د و شکل ۵-ج) با رنگ قرمز نشان داده شده است. با کاهش سرعت بادهای غلظ شمل غربی خلیج فارس جریان‌های جت ساحلی در مجاورت سواحل ایران ناپدید و در مجاورت سواحل عربستان سعودی کاملاً تضعیف می‌گردد.



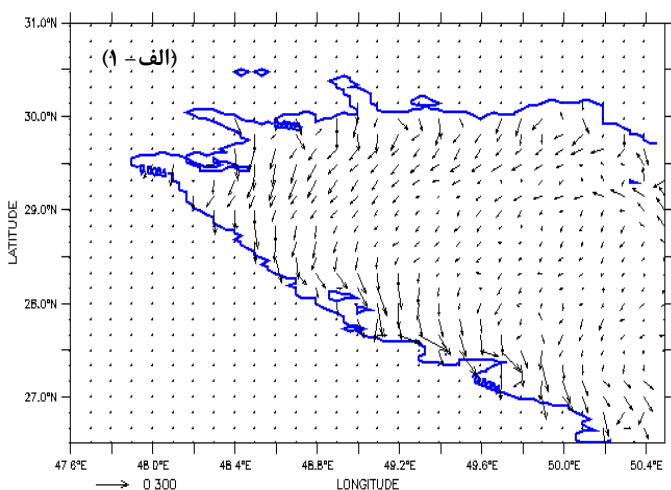
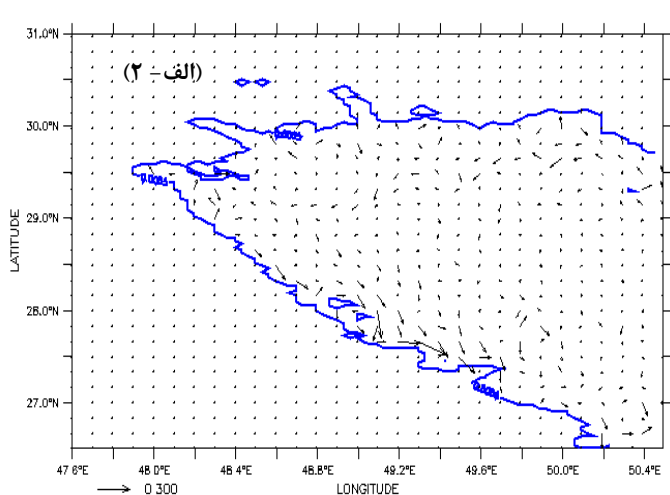
شکل ۳- سری زمانی مربوط به میانگین شوری برای ۲ سال آخر از کل مدت شبیه سازی در نقطه دلخواه P، که از سطح تا عمق میان‌گیری شده است.

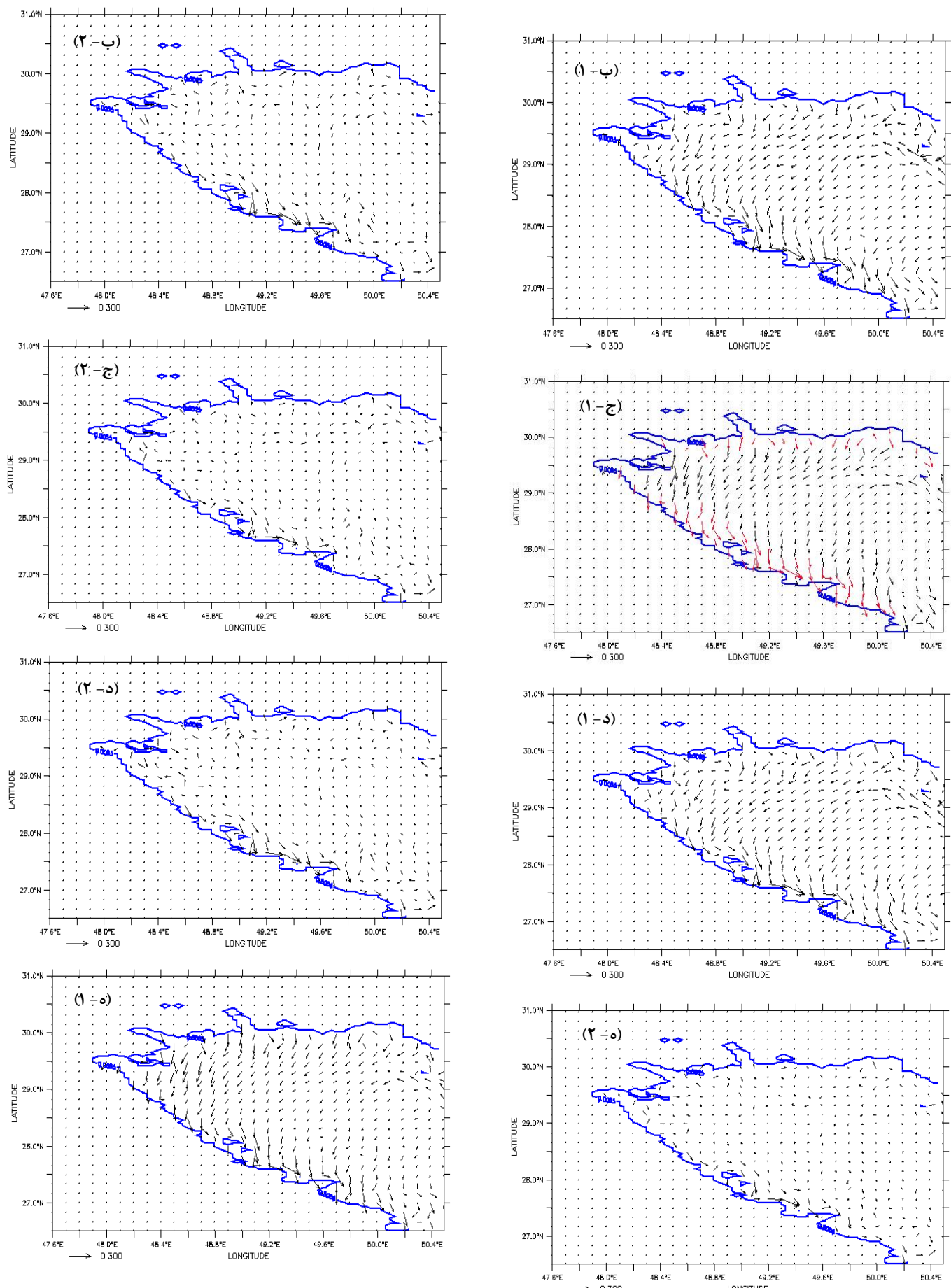
۴ - یافته‌ها

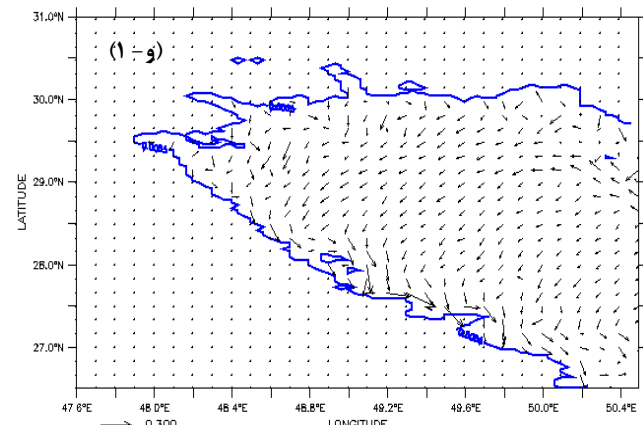
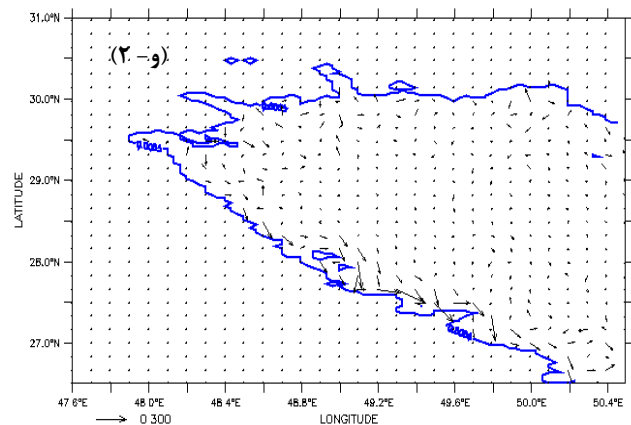
شکل‌های ۴ و ۵ نتایج شبیه‌سازی شده بردارهای جریان را در خلیج فارس نشان می‌دهد. داده‌های باد در یک دوره اقلیمی ۵۰ ساله به صورت میانگین روزانه به مدل اعمال شده است. نتایج این شبیه‌سازی، در مقیاس حوضه به گردش کلی شبیه است و با مشاهدات رینولدز [۴] و نتایج مدل‌سازی تاپیل و همکاران [۱] و مهندسی و همکاران [۸] مطابقت دارد. جریان‌های سواحل ایرانی به سمت شمال غربی در ماههای دی تا فروردین گسترش می‌یابد (شکل ۴، الف و ب) و به بیشترین شدت خود در ماه خرداد تا مرداد (شکل ۴، ج و د)، زمانی که جریان درون ریز سطحی از طریق تنگه هرمز و با استقرار ترمومکلین فصلی به تدریج قوی تر می‌شود، می‌رسد. همان‌گونه که از این شکل‌ها بر می‌آید، به طور کلی، جریان‌های سطحی در تابستان (تقریباً ۱۰ تا ۲۰ سانتی‌متر بر ثانیه)، قوی‌تر و در زمستان ضعیفتر است. شکل ۶، میانگین دمای سطحی AA را در ماه مرداد نشان می‌دهد. چینه‌بندی قائم در طول برش 'BB' در ماه های بهمن و مرداد در شکل‌های ۷ الی ۱۰ نشان داده شده است. گردش ضعیفتر در زمستان در نتیجه کاهش گرادیان چگالی بین خلیج فارس و دریای عمان و همچنین چینه‌بندی ضعیف (شکل ۷ و ۸) به دلیل سرمای زمستان است. در تابستان به دلیل افزایش جریان ورودی به خلیج فارس از دریای عمان، قوی‌تر شدن چینه‌بندی و کاهش سرعت باد، جریان‌های



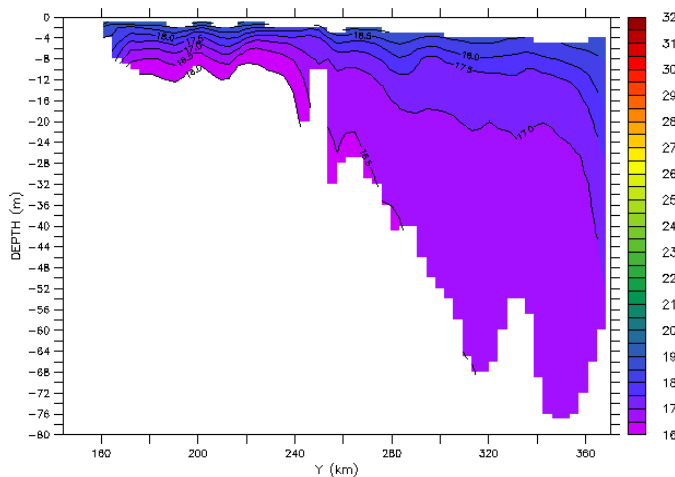
شکل ۴- بردارهای جریان در سطح، (الف) دی، (ب) فروردین، (ج) خرداد، (د) مرداد



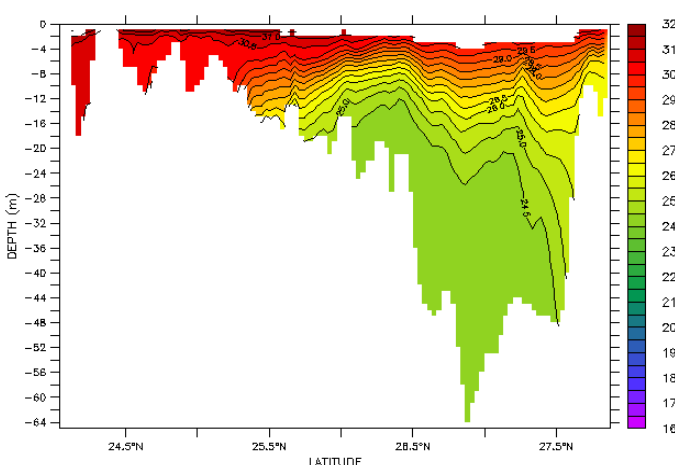




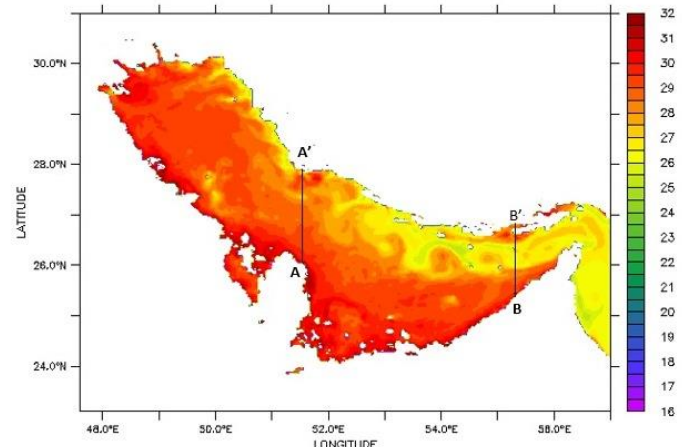
شکل ۵- بردارهای جریان سطح (۱) و کف (۲)، و جت ساحلی در بخش شمالی خلیج فارس در ماههای (الف) اردیبهشت، (ب) خرداد، (ج) تیر، (د) مرداد، (ه) شهریور و (و) مهر



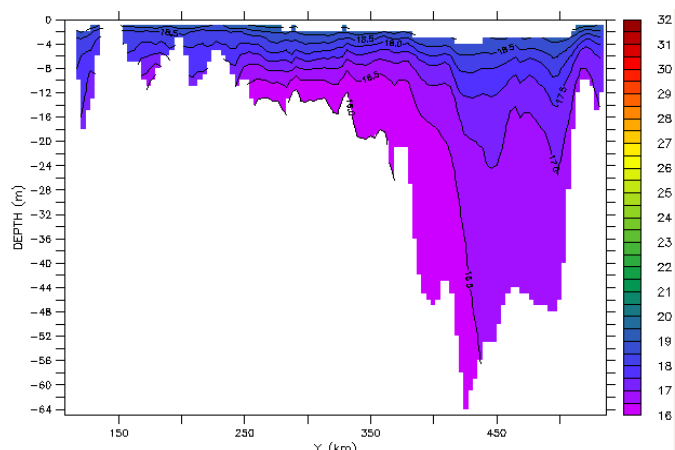
شکل ۸- نیمرخ قائم دما(ترموکلاین) در طول خط 'BB' در ماه بهمن



شکل ۹- نیمرخ قائم دما(ترموکلاین) در طول خط 'AA' در ماه مرداد



شکل ۶- میانگین ماهانه دمای سطحی در ۱۵ متر بالابی در ماه مرداد



شکل ۷- نیمرخ قائم دما(ترموکلاین) در طول خط 'AA' در ماه بهمن

خلیج فارس از دریای عمان، قوی‌ترشدن چینه‌بندی و کاهش سرعت باد، جریان‌های سواحل ایرانی رفتارهای قویتر می‌شود و به سمت شمال خلیج فارس نفوذ می‌کند.

۶- نتیجه‌گیری

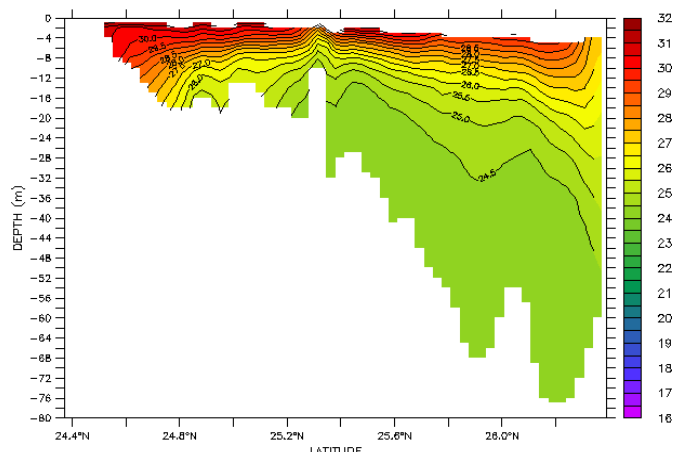
نتایج شبیه‌سازی بردارهای جریان نشان‌دهنده شروع افزایش سرعت جریان‌ها با شروع فصل گرما است. گسترش ترمومکلین سبب می‌شود، اختلاط عمودی در شرایط باد ضعیف غالب در این فصل، محدود شود. سپس به وسیله آب‌چگال‌تر (کم‌شورتر) ساکن درانتهای شمالی (جنوبی) خلیج گردیان فشار تولید می‌شود و جریان آب کم‌شورتر را از خلیج عمان به خلیج فارس از طریق تنگه هرمز می‌راند. تحت این شرایط جریان‌های ساحلی قوی‌تری به وجود می‌آید. جت ساحلی در مجاورت سواحل ایران تنها محدود به سطح است و به طرف جنوب‌شرقی حرکت می‌نماید و در بستر جریان برگشتی به طرف شمال‌غربی داریم، اما جریان جتساحلی در مجاورت عربستان سعودی در تمامی سنتون آب به طور کامل از سطح تا بستر وجود دارد و به طرف جنوب‌شرقی حرکت می‌نماید. نتایج شبیه‌سازی وجود جت ساحلی در ماه‌های اردیبهشت تا مهر را نشان داد. با کاهش سرعت بادهای غالب شمال‌غربی خلیج فارس جت ساحلی در مجاورت سواحل ایران ناپدید و در مجاورت سواحل عربستان سعودی کاملاً تضعیف می‌گردد.

کلید واژگان

- 1- Hydrodynamic-Ecological Model for Regional and shelf seas (COHERENS)
- 2- Total Variation Diminishing
- 3- Courant-Fredrechs-Lowy (CFL)
- 4- National Oceanic and Atmospheric Administration (NOAA)

۷- مراجع

- 1- Thoppil, P.G., and Hogan, P.J., (2010a), *A modeling study of circulation and eddies in the Persian Gulf*. Journal of Physical Oceanography, Vol. 40, p.2122-2134.
- 2- Pous, S., Lazure, P., and Carton, X., (2015), *A model of the general circulation in the Persian Gulf and in the Strait of Hormuz: Intraseasonal to interannual variability*. Continental Shelf Research, Vol. 94, p.55-70.
- 3- Chao, S.Y., Kao, T.W., and Al-Hajri, K.R., (1992), *A numerical investigation of*



شکل ۱۰- نیمرخ قائم دما (ترموکلین) در طول خط 'BB' در ماه مرداد

۵- بحث

با استفاده از مدل کوهیرنس و اعمال میانگین روزانه داده‌های بلندمدت اقلیمی ۵۰ ساله، با تفکیک افقی ۲ دقیقه، جریان‌های ساحلی در خلیج فارس شبیه‌سازی شد. میدان جریان‌های افقی به شدت وابسته به میدان‌های هیدروگرافی، مخصوصاً میدان شوری است. در کنار گردش کلی آب در خلیج فارس، تغییرات فصلی قوی نیز وجود دارد؛ وقتی در تابستان و بهار باد آرام می‌شود و ترمومکلین فصلی تشکیل می‌شود، جریان در ساحل قوی‌تر می‌شود و می‌تواند تقریباً به انتهای شمالی خلیج برسد و یک زبانه کم‌شوری آب را تا عرض $28^{\circ}N$ بیاورد. در تابستان و بهار جریان‌های به سمت شمال‌غربی در طول سواحل ایران به رأس خلیج فارس می‌رسد و به پلوم اروندرود ملحق می‌شوند و به سمت جنوب‌شرق سواحل کویت و عربستان‌سعودی جریان می‌یابد. مرکز بخش شمالی خلیج فارس یک منطقه نسبتاً ایستا را نشان می‌دهد. این منطقه در زمستان و بهار وسیع‌تر می‌شود. نتایج مدل همچنین جریان به سمت جنوب‌شرق را در طول سواحل کویت و عربستان سعودی، که در بهار و تابستان قوی‌تر از دیگر فصل‌های است، نشان داد. این جریان به طرز معنی‌داری در زمستان به دلیل ترمومهالاین و جریان ناشی از باد، تضعیف می‌شود. خروجی‌های مدل نشان داد جریان سطحی به سمت جنوب، از مرکز خلیج به سمت فلات قاره بحرین، قطر و سواحل کم‌عمق امارات متعدد عربی جریان دارد. این جریان در طول بهار و تابستان قوی‌تر و در زمستان ضعیفتر است. جریان‌های سواحل ایرانی به سمت شمال‌غربی در ماه‌های دی تا فروردین گسترش می‌یابد و به بیشترین شدت خود در ماه خرداد تا مرداد، زمانی که جریان درون‌ریز سطحی از طریق تنگه هرمز و با استقرار ترمومکلین فصلی به تدریج قوی‌تر می‌شود، می‌رسد. گردش ضعیفتر در زمستان در نتیجه کاهش گردیان چگالی بین خلیج فارس و دریای عمان و همچنین چینه‌بندی ضعیف به دلیل سرمای زمستان است. در تابستان به دلیل افزایش افزایش جریان ورودی به

- 15- Alessi, C. A., H.D., Hunt, A.S., Bower. (1999), *Hydrographic data from the U.S. Naval oceanographic office: Persian Gulf, southern Red sea and Arabian Sea, Woods Hole Oceanog.* Institution Technical Report WHOI-99-02.
- 16- Lardner, R., Al-Rabeh, A., Gunay, N., Hossain, M., and Reynolds, R., (1993), *Computation of the residual flow in the ROPME Sea Area using the Mt-Mitchell data and KFUPM. RI hydrodynamical models.* Final report of the Mt-Mitchell cruise in the ROPME Sea Area, Vol., p.116-150.
- 4- circulation in the Arabian Gulf. Journal of Geophysical Research: Oceans, Vol. 97, p.11219-11236.
- 5- Reynolds, R.M., (1993), *Physical oceanography of the Gulf, Strait of Hormuz, and the Gulf of Oman—Results from the Mt Mitchell expedition.* Marine Pollution Bulletin, Vol. 27, p.35-59.
- 6- Thoppil, P.G., and Hogan, P.J., (2010b), *Persian Gulf response to a wintertime shamal wind event.* Deep Sea Research Part I: Oceanographic Research Papers, Vol. 57, p.946-955.
- 7- Kämpf, J., and Sadrinasab, M., (2006), *The circulation of the Persian Gulf: a numerical study.* Ocean Science, Vol. 2, p.27-41.
- 8- Hosseiniyalam, F., Hassanzadeh, S., and Rezaei-Latifi, A., (2011), *Three-dimensional numerical modeling of thermohaline and wind-driven circulations in the Persian Gulf.* Applied Mathematical Modelling, Vol. 35, p.5884-5902.
- 9- Namin, M.M., Bidokhti, A., Khaniki, A.K., Zadeh, I.H., and Azad, M.T., (2016), *A Study of the Performances of Different Turbulence Schemes in Numerical Simulation of Hydrodynamics of a Semi-Closed Sea (Persian Gulf).* Marine Geodesy, Vol. 39, p.141-164.
- 10- Azad, M.T., and Mehrfar, H., (2017), *Seasonal variation of coastal jets in the Persian Gulf using field studies.* Journal of Research in Marine Sciences, Vol. 2(2), p.106-111.
- 11- Yao, F., and Johns, W.E., (2010), *A HYCOM modeling study of the Persian Gulf: 1. Model configurations and surface circulation.* Journal of Geophysical Research: Oceans, Vol. 115(C11), p.1-17.
- 12- Mellor, G.L., and Yamada, T., (1982), *Development of a turbulence closure model for geophysical fluid problems.* Reviews of Geophysics and Space Physics, Vol. 20, p.851-875.
- 13- Luyten, P.J., Jones, J.E., Proctor, R., Tabor, A., Tett, P., and Wild- Allen, K., (1999), *COHERENS A coupled hydrodynamical-ecological model for regional and shelf seas: user documentation, MUMM Rep.* Management Unit of the Mathematical Models of the North Sea.
- 14- Smagorinsky, J., (1963), *General circulation experiments with the primitive equations: I. The basic experiment.* Monthly weather review, Vol. 91, p.99-164.
- 15- Ezam, M., Bidokhti, A., and Javid, A., (2010), *Numerical simulations of spreading of the Persian Gulf outflow into the Oman Sea.* Ocean Science, Vol. 6, p.887-900.